#### УДК 628.511.001.57:656.62.073.28:689.45

DOI: 10.34046/aumsuomt 103/10

## ВЛИЯНИЕ ТЕХНОЛОГИЧЕСКИХ ОПЕРАЦИЙ ПЕРЕГРУЗКИ СЫПУЧИХ ГРУЗОВ ГРЕЙФЕРОМ НА ПОТЕРИ ОТ ПЫЛЕОБРАЗОВАНИЯ

Н.С. Отделкин, доктор технических наук, профессор Е.И. Адамов, кандидат технических наук, доцент

Исследуется влияние на потери сыпучих грузов отпылеобразования технологических операций цикла работы перегрузочного обору дования, оснащенного грейферми и приводятся рекомендации по снижению потерь от пыления.

Ключевые слова: сыпучий груз, пылеобразование, грейферный кран, окружающая среда

## IMPACT OF TECHNOLOGICAL OPERATIONS OF LOADING BULK CARGO GRAPPLE FOR DUST LOSS

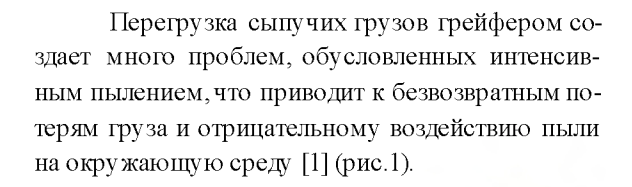
N.S. Otdelkin, E.I. Adamov

The influence on the losses of bulk cargoes from dust formation of technological operations of the cycle of operation of handling equipment equipped with grabs is investigated and recommendations are given to reduce losses from dusting.

**Key words:** bulk cargo, dust formation, clamshell crane, environment.

Большую часть перевозимых водным, железнодорожным и автомобильным транспортом грузов составляют сыпучие материалы, перегрузка которых осуществляется крановым оборудованием, оснащенным грейферами.







Рису нок  $1-\Pi$ ерегру зка у гля крановым обору дованием, оснащенным грейферами

Вопросы определения количественных характеристик потерь сыпучих грузов при их перегрузке грейфером являются малоизученными и актуальными.

Краны с грейферами относятся к машинам периодического действия, то есть процесс перегрузки грузов с их помощью носит циклический характер и состоит из повторяющихся циклов. Цикл работы крана с грейфером состоит из следующих: технологических операций:

- посадка раскрытого грейфера на сыпучий груз;
- зачерпывание груза (смыкание челюстей грейфера);
  - перенос груженого грейфера;
  - разгрузка грейфера;
  - перенос порожнего грейфера.

При выполнении каждой из перечисленных операций происходит выделение пыли.

В таблице 1 представлены данные по интенсивности пылеобразования технологических операций при работе грейфера с различными навалочными грузами, полученные авторами [2].

Наиболее высокие концентрации пыли, а, следовательно, и максимальные потери, имеют место при разгрузке грейфера. Это объясняется тем, что при истечении груза из грейфера происходит расслоение и насыщение воздухом струи падающего материала за счет наличия в нем разных по весу и размерам частиц. В результате соударения падающего материала о преграду (днища транспортных средств, бункерных устройств) образуются воздушные потоки, которые приводят к пылеобразованию и пылеуносу частиц груза.

Таблица 1 – Интенсивность	пылеобразования технологических	операцийпри работе грейфера с различ-
ными сыпучими грузами		

Технологические операции	Относительная запыленность, %		
Посадка порожнего грейферана груз	23		
Зачер пывание	710		
Перемещение груженого грейфера	1520		
Разгрузка грейфера	6776		
Перенос порожнего грейфера	812		

В связи с этим дальнейшие экспериментальные исследования были выполнены именно для операции цикла, связанной с разгрузкой грейфера. Данные исследования процессов пылеобразования при работе грейфера проводились с использованием разработанного авторами метода оценки на моделях процессов пылеобразования и пылеуноса при различных способах перегрузки сыпучих грузов в портах [3]. Предлагаемый метод позволил исследовать влияние мало изученных параметров на процессы потерь сыпучих грузов от пылеобразования при их перегрузке грейфером. К этим параметрам относятся вместимость грейфера, размеры приемной емкости (бункеры, кузова транспортных средств, трюмы судов), время раскрытия грейфера.

Основные положения метода исследования процессов пылеобразования и пылеуноса при перегрузке сыпучих грузов грейфером требуют выполнения следующих условий:

1. Модели должны быть геометрически подобны натурному объекту. Для адекватности модели натуре величина линейного масштабного коэффициента $k_l$ должна принимать определенное значение. Для модели грейфера  $k_l \leq 10$ ;

- 2. При модельных исследованиях применять натурный сыпучий груз, что обеспечит подобие процессов:
- деформации сыпучего груза при его зачерпывании грейфером;
- истечения сыпучего груза при раскрытии грейфера;
- удара о преграду падающего сыпучего груза и взвешивания частиц пыли.

Подобие указанных процессов выполнимо при условии  $k_\vartheta = k_{\rm S}^{1/2},$ 

где:  $k_{\vartheta}$  – масштаб подобия средней скорости истечения груза при разгрузке грейфера;

 $k_S$  - масштаб подобия площади истечения.

3. Соблюдать одинаковыми в модели и натуре направления и скорости ветровых потоков, что приведет к выполнению подобияпроцессов распространения взвешенных частиц пыли ветровыми потоками.

Исследование влияния вместимости грейфера на величину потерь груза проводились при разгрузке модельных грейферов, выполненных в масштабе  $1:10\ (k_l=10)$ , к кранам грузоподъемностью  $5,\ 10\ u\ 16\ тонн.\ (рис.\ 2)$ .

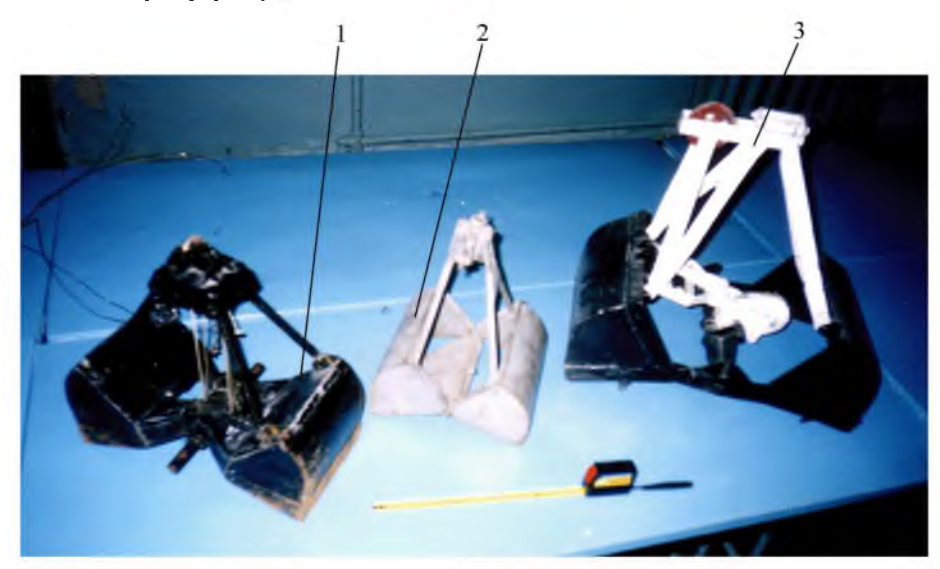


Рисунок 2 – Модели двухчелюстных грейферов, выполненные с  $k_l=10$ : 1 – к крану грузоподъемностью 10 тонн; 2 – к крану грузоподъемностью 5 тонн; 3 – к крану грузоподъемностью 16 тонн

Таблица 2 — Результаты расчета параметров модельных грейферов с  $k_l = 10$  к кранам различной грузоподъемности

Грузоподъемность кранов, т	Вместимость	грейфера, м'	Масса груза в грейфере, кг		
	натурного	модельного	в натурном	в модельном	
5	1,6	0,0016	3200	3,2	
10	3,2	0,0032	5200	5,2	
16	5	0,0050	9600	9,6	

Масса груза  $m_{\rm rp}^{\rm M}({\rm Kr})$  в модельных грейферах и их вместимость  $V_{\rm rp}^{\rm M}({\rm M}^3)$  определялись по выражениям

$$m_{\rm rp}^{\rm M} = \frac{m_{\rm rp}^{\rm H}}{k_l^3}; \quad V_{\rm rp}^{\rm M} = \frac{v_{\rm rp}^{\rm H}}{k_l^3},$$

где  $m_{\rm rp}^{\rm H}, V_{\rm rp}^{\rm H}$  — масса груза и вместимость натурных грейферов.

Результаты расчета этих параметров приведены в табл. 2.

Методика проведения исследования по влиянию вместимости грейфера на потери от пылеобразования была принята следующая.

Время раскрытия  $t_{\rm p}$ модельных грейферов и высота H падения груза (разгрузки грейфера) были постоянными и их значения составляли  $t_{\rm p}=3~c,\,H=0.1~{\rm M}.$ 

В качестве груза в исследованиях использовался апатит с влажностью 0,5%. Повторяемость экспериментов пятикратная. Потери груза определялись следующим образом. После каждой разгрузки модельного грейфера, частицы груза,

переносимые воздушными потоками, при ударе струи материала о преграду, и расположенные вне основной массы груза, считались потерянными (рис. 3). Эти частицы грузасобирались и взвешивались на аналитических весах ВЛА-200М.



Рису нок 3 – Определение потерянной части гру за от пылеобразования при разгру зке грейфера

Результаты проведенных исследований представлены в табл. 3 и на рис. 4.

Таблица 3 – Результаты исследования влияния вместимости грейферана величину потерь от пылеобразования апатита

Вместимость	Значение потерь от пылеобразования, г					Zuguarna nazani az	
модельного грейфера, м <sup>3</sup>	при параллельных опытах				среднее значение параллельных опытов	Значение потерь от пылеобразования, %	
0,0016	27,8	26,8	33,4	31,4	25,6	29	0,91
0,0032	32,0	34,0	35,0	33,0	36,0	34	0,65
0,0050	45,6	36,1	37,5	30,9	39,6	38	0,40

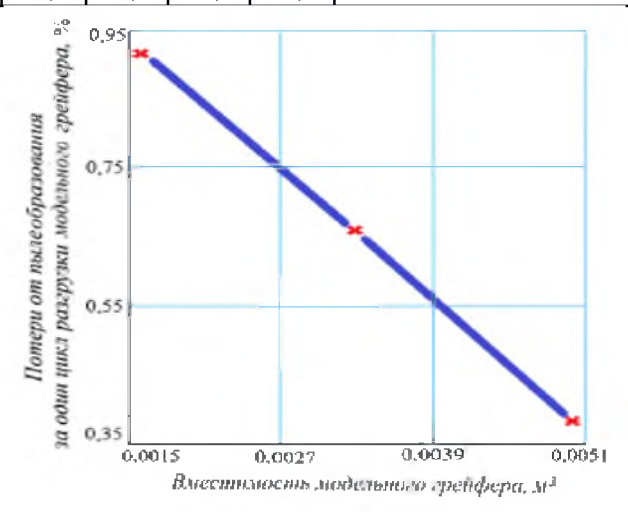
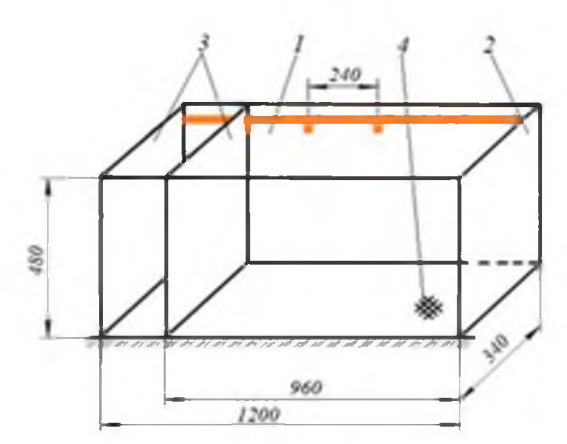


Рисунок 4 – Зависимость величины потерь апатита при пылеобразованииот вместимости грейфера

Из данных таблицы 3 и рисунка 4 следует, что с увеличением вместимости натурного грейфера с  $1,6\,\mathrm{M}^3$  до  $5\,\mathrm{M}^3$  величина потерь груза снижается в  $1,5...2,0\,$  раза.



Для исследований влияния на величину потерь сыпучего груза от пылеобразования размеров приемной емкости (трюм судна, полувагон, бункер) была разработана специальная установка, схема и фото которой представлены на рис. 5.



Рису нок 5 — Установка для исследования потерь гру за от пылеобразования: 1 — стенка задняя со шкалой; 2 — стенка боковая неподвижная; 3 — стенка переносная; 4 — стенка передняя прозрачная

Принцип работы установки заключался в том, что ее высота и ширина оставались постоянными, а изменялось только положение боковой переносной стенки 3, которая устанавливалась согласно шкале с делениями, что позволяло изменять величину вместимости приемной емкости.

Методика исследования влияния размеров приемной емкости на величину потерь груза была принята следующая. Сначала устанавливалась в одном из четырех положений переносная стенка установки, что соответствовало значениям приемной емкости, которые составляли: 0,191; 0,142; 0,112; 0,083 м3. Затем, при каждом значении приемной емкости производилась разгрузка модельный грейфер с  $k_l = 10\,$  к крану грузоподьемностью 10 тонн.

В качестве груза применялась комовая сера с влажностью 1%. Повторяемость экспериментов

пятикратная. Величина потерь груза определялась так же, как и в исследованиях влияния вместимости грейфера на потери груза.

Результаты проведенных исследований представлены в табл. 4 и на рис. 6.

Размеры приемной емкости предлагается учитывать с помощью коэффициента  $k_V$ , значения которого определялись по формуле

$$k_V = \frac{V_{\rm np}}{V_{\rm np}^{\rm M}}$$

где  $V_{\rm np}$  – вместимость приемной емкости, м<sup>3</sup> (табл. 4);

 $V_{\rm rp}^{\rm M}$  - вместимость модельного грейфера, м<sup>3</sup>. Вместимость используемого приэксперименте модельного грейфера к крану грузоподьемностью 10 тонн составляла 0,0032 м<sup>3</sup> (см. табл. 2).

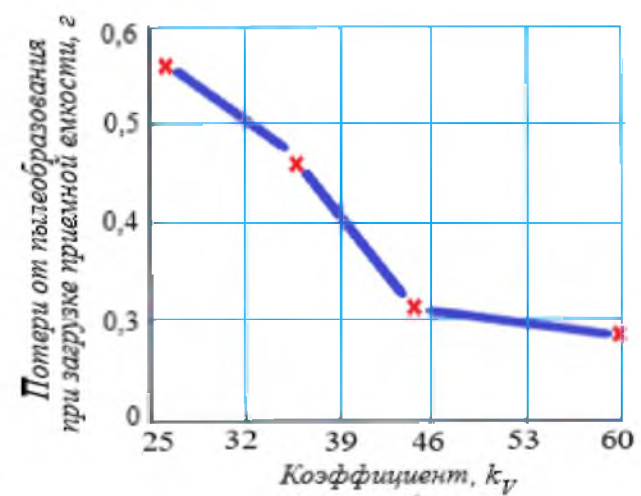


Рисунок 6 -Зависимость потерь груза от размеров приемной емкости

Таблица 4 - Результаты исследований влияния размеров приемной емкости на потери груза при пылеобразовании

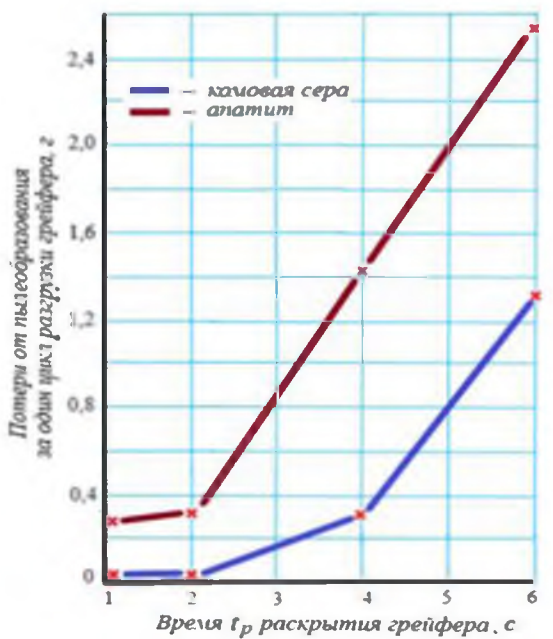
Вместимость приемной емкости, м3	Коэффициент $k_V$	Потери от пылеобразования, г	
0,191	60	0,29	
0,142	44	0,31	
0,112	35	0,47	
0,083	26	0,56	

Из данных рисунка 6 следует, что при значении  $k_V > 45$  размеры приемной емкости на величину потерь от пылеобразования влияния не оказывает. Для меньших значений коэффициента  $k_V$  при определении потерь груза от пылеобразования необходимо учитывать размеры приемной емкости.

При исследованиях влияния времени раскрытия грейфера на величину потерь груза от пылеобразования в качестве сыпучего груза использовались комовая сера с влажностью 1% и апатит

с влажностью 0,5%. Грейфер был выполнен в масштабе 1:10, то есть  $k_l=10$  к крану грузоподьемностью 10 тонн. Высота H падения груза (разгрузки грейфера) была постояннойH=0,1 м. Время раскрытия грейфера принималось равным 1; 2; 4 и 6 с. Повторяемость опытов пятикратная. Величина потерь груза определялась так же, как и в исследованиях.

Результаты проведенных исследований представлены в табл. 5 и на рис. 7.



Рису нок 7 – Зависимость потерь гру за при пылеобразованиют времени раскрытия грейфера

Таблица 5 – Результаты исследований влияния времени раскрытия грейфера на потери комовой серы и апатита от пылеобразования

$\mathrm{B}$ ремя $t_{p}$ раскрытия	Значение п	отерь от пыл	Среднее значение				
грейфера, с	параллельн	ых опытах, 1	параллельных опытов, г				
Комовая сера с влажностью 1%							
1	0,02	0,01	0,03	0,025	0,023	0,02	
2	0,011	0,015	0,02	0,022	0,012	0,01	
4	0,32	0,30	0,29	0,33	0,31	0,31	
6	1,30	1,31	1,33	1,28	1,32	1,32	
Апатит с влажностью 0,5 %							
1	0,27	0,29	0,30	0,32	0,26	0,29	
2	0,31	0,31	0,33	0,30	0,34	0,32	
4	1,42	1,43	1,40	1,43	1,39	1,41	
6	2,57	2,55	2,55	2,58	2,54	2,56	

Из данных таблицы 5 и рисунка 7 следует, что с уменьшением времени раскрытия грейфера потери груза от пылеобразования снижаются:

- для апатита на 11% (апатит относится к порошкообразным грузам);

- для комовой серы на 1,5% (комовая сера относится к мелкозернистым грузам).

В большей степени снижение потерь при уменьшении времени раскрытия грейфера имеет место для сыпучих грузов, относящихся к категориям порошкообразныхи пылевидных грузов с максимальным размером частиц 0,05...0,5 мм.

Таким образом, по результатам выполненных исследований можно сделать следующие выводы:

- для снижения потерь груза от пылеобразования при грузовой обработке транспортных средств и открытых складов следует применяв грейферы с большей вместимостью, то есть грейферные краны большей грузоподъемности;
- при определении потерь груза от пылеобразования необходимо учитывать размеры транспортных средств. При этом, размеры трюмов судов, для которых  $k_V=180...550$  не влияют на величину потерь груза, а размеры полувагонов, для которых  $k_V=6...19$ , существенным образом увеличивают потери груза;
- с у меньшением времени раскрытия грейфера до 1...2 секу нд потери груза от пылеобразования снижаются на 1,5...11% в зависимости от фракционного состава сыпучего груза.

#### Литература

1. Бланк, Ю.И. Борьба с пылеобразованием в морских портах / Ю.И. Бланк, В.Я. Зильдман, В.А.

- Чикановский // Морской транспорт: Экспресс информация. М., 1984. Вып. 552. С. 24 29.
- Отделкин, Н. С. Теоретические основы оценки потерь и защиты окружающей среды от пылеобразования при перегрузке и хранении сыпучих грузов: дис... докт. техн. наук: 05.22.19, 03.00.16: защищена 2009 г.: утв. 2009 / Отделкин Николай Станиславович. Н. Новгород, 2009. 355 с.
- 3. Адамов, Е.И. Совершенствование методов определения и снижения потерь от пылеобразования при перегрузке сыпучих грузов грейферными кранами и перегружателями. Дис... канд. тех. наук. Нижний Новгород, 2010. 122 с.

#### Reference

- Blank, YU.I. Bor'ba s py leobrazovaniem v morskih portah / YU. I. Blank, V. YA. Zil'dman, V. A. CHikanovskij // Morskoj transport / Ekspress – informaciy a. – M., 1984. – Vyp. 552. – S. 24 - 29.
- Otdelkin, N. S. Teoreticheskie osnovy ocenki poteť i zashchity okruzhayu shchejsredy ot pyleobrazovaniya pri peregruzke i hranenii sypuchih gruzov: dis... dokt. tekhn. nauk: 05.22.19, 03.00.16: zashchishchena 2009 g.: utv. 2009 / Otdelkin Nikolaj Stanislavovich. – N. Novgorod, 2009. – 355 s.
- Adamov, E.I. Sovershenstvovanie metodov opredeleniya i snizheniya poter' ot pyleobrazovaniya pri peregruzke sypuchih gruzov grejfernymi kranami i peregruzhatelyami. Dis... kand. tekh. nauk. – Nizhnij Novgorod, 2010. – 122 s.

#### УДК 629.5.072

DOI: 10.34046/aumsuomt 103/11

# КОНТРОЛЬ МЕСТОПОЛОЖЕНИЯ КРУПНОТОННАЖНОГО СУДНА ПРИ ВОЗНИКНОВЕНИИ УСЛОВИЙ НЕДОСТАТОЧНОЙ НАВИГАЦИОННОЙ ИНФОРМАЦИИ

М.Л. Джавукцян, аспирант.

В статье рассматривается модель контроля местоположения крупнотоннажного судна при возникновении условий недостаточной навигационной информации, а также графоаналитический способ оценки параметров вектора состояния судна с помощью теории нечетких чисел. Указываются основные достоинства нечеткой модели, а также возможности ее применения в различных навигационных системах. Алгоритм способа реализуется на примере захода в порт Новороссийск.

Ключевые слова: контроль местоположения, недостаточная навигационная информация, безопасность мореплавания, навигационная опасность, нечеткая логика, нечеткие числа, вектор состояния.

# CONTROL OF THE POSITION OF A LARGE- TONNAGE VESSEL IN THE EVENT OF INSUFFICIENT NAVIGATIONAL INFORMATION CONDITIONS

M.L. Dzhavuktsyan

The article considers a model for controlling the location of a large-tonnage vessel in the event of conditions of insufficient navigational information, as well as a graphical-analytical method for estimating the parameters of the vessel's state vector using fuzzy number theory. The main advantages of the fuzzy model are indicated, as well as the possibilities of its application in various navigation systems. The algorithm of the method is implemented on the example of entering the port of Novorossiysk.

Key Words: position control, insufficient navigation information, safety of navigation, navigation hazard, fuzzy logic, fuzzy numbers, state vector.